

ПРИМЕНЕНИЕ ДИОДНЫХ ЛАЗЕРОВ ДЛЯ ОБНАРУЖЕНИЯ В ГАЗОВЫХ СМЕСЯХ КОМПОНЕНТ С ВЫСОКОЙ ПЛОТНОСТЬЮ СПЕКТРАЛЬНЫХ ЛИНИЙ

И. И. Засавицкий, Ю. В. Косичкин, А. И. Надеждинский,  
Е. В. Степанов, А. Д. Тищенко, А. П. Шотов

УДК 621.375.826:543.42

С помощью диодного лазера реализован метод спектрального анализа, в котором детектирование газа происходит по совокупности спектральных линий. Это позволило при сохранении быстродействия ~0,5 с почти на два порядка увеличить чувствительность анализатора по сравнению с детектированием по отдельной линии.

1. Применение диодных лазеров средней ИК области в спектральном газоанализе показало возможность анализа с их помощью газовых смесей, содержащих весьма малые количества примесей /1-7/. При традиционном подходе анализ производится по одной из линий поглощения молекулы детектируемой примеси /1-5/. Дополнительный выигрыш в чувствительности газоанализатора может быть получен при использовании информации, содержащейся во всем регистрируемом спектре /6-7/. В этих работах регистрировались достаточно протяженные спектральные интервалы, содержащие несколько линий поглощения, а затем производилась обработка полученных спектров на ЭВМ.

2. Настоящая работа производилась на диодном лазерном спектрометре /8/, приспособленном для решения задач газоанализа. Использовались лазеры на основе полупроводников А<sub>1</sub>У<sub>2</sub>В<sub>1</sub>. Монтаж лазеров позволял использовать для работы излучение, выходящее из двух противоположных граней лазерного кристалла, что дало возможность осуществить одновременное функционирование двух каналов спектрометра – реферного и аналитического. Оптические

схемы каналов были практически идентичными. Лазерное излучение коллимировалось в параллельный пучок, а затем фокусировалось на фотоприемник. В оптический тракт помещались газовые кюветы.

Анализировалось содержание  $\text{CF}_2\text{Cl}_2$  в газовых смесях  $\text{CF}_2\text{Cl}_2$  и воздуха. Для анализа использовалась полоса поглощения  $\text{CF}_2\text{Cl}_2$ , расположенная в области  $915-930 \text{ cm}^{-1}$  /2,3/. В реперное плечо помещалась кювета  $K_1$  длиной 10 см, которая заполнялась реперным газом  $\text{CF}_2\text{Cl}_2$  до давления 0,1 – 0,3 торр. Исследуемая смесь запускалась в кювету  $K_2$  длиной 50 см, установленную в аналитический канал.

Лазер работал в импульсно-периодическом режиме с длительностью импульса тока накачки 1-7 мс и скважностью 1,1-5. В течение токового импульса происходил разогрев лазера, что приводило к перестройке его частоты. Сигнал фотоприемников реперного и аналитического каналов можно представить в виде:

$$u_i(t) = u_{oi}(t) \exp [-x_i(\nu(t)) p_i L_i], \quad (I)$$

где  $u_{oi}(t)$  – временная зависимость сигнала в отсутствие газа,  $\nu(t)$  описывает перестройку частоты лазера во времени,  $x_i(\nu)$  – спектр коэффициента поглощения исследуемого газа,  $p_i$  – парциальное давление газа,  $L_i$  – длина кюветы, индексы  $i = 1, 2$  относятся, соответственно, к реперному и аналитическому каналам.

Подбором режима работы лазера – температуры, амплитуды, длительности, скважности и формы импульса тока накачки – можно добиться того, чтобы диапазон перестройки частоты лазера в течение импульса перекрывал значительную часть спектра поглощения газа. В этом случае  $\nu(t)$  представляет суперпозицию значительного количества ( $\sim 10^3$ ) линий.

3. Детектирование содержания  $\text{CF}_2\text{Cl}_2$  в исследуемой смеси производилось сразу практически по всем линиям поглощений, попадающим в диапазон перестройки лазера. Это было реализовано следующим образом. Сигнал реперного канала  $u_1$  представлял собой последовательность резких пиков, соответствующих линиям поглощения реперного газа, и использовался для запуска стробоскопического интегратора (СИ). Запуск СИ происходил в моменты времени  $t_k$  ( $k = 1, 2, \dots, N$ ;  $N$  – число запусков в течение импульса тока накачки), соответствующие наиболее сильным линиям поглощения.

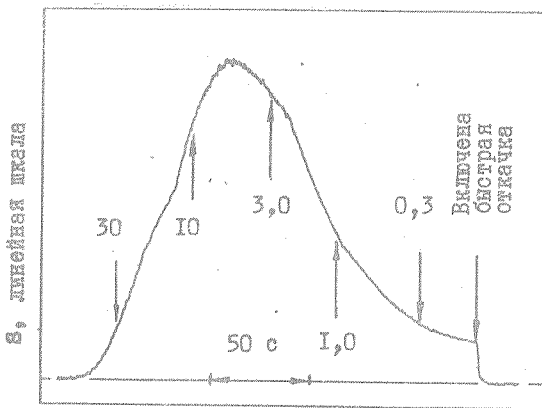
Сигнал аналитического канала обычно характеризуется малым поглощением ( $\chi_{PL} \ll 1$ ). После прохождения дифференцирующей цепочки, этот сигнал усиливался и подавался на входы СИ, который производил измерения в моменты времени  $t_k + \Delta t_1$  и  $t_k + \Delta t_2$  ( $\Delta t_1$  и  $\Delta t_2$  — временные задержки двух стробирующих импульсов относительно момента запуска), находил их разность и усреднял значение этой разности по запускам. Сигнал на выходе СИ можно представить в виде:

$$S = (P_2 L_2 / N) \sum_{k=1}^N [x_2(t_k + \Delta t_1) - x_2(t_k + \Delta t_2)] u_{02}(t_k) \equiv A P_2 L_2. \quad (2)$$

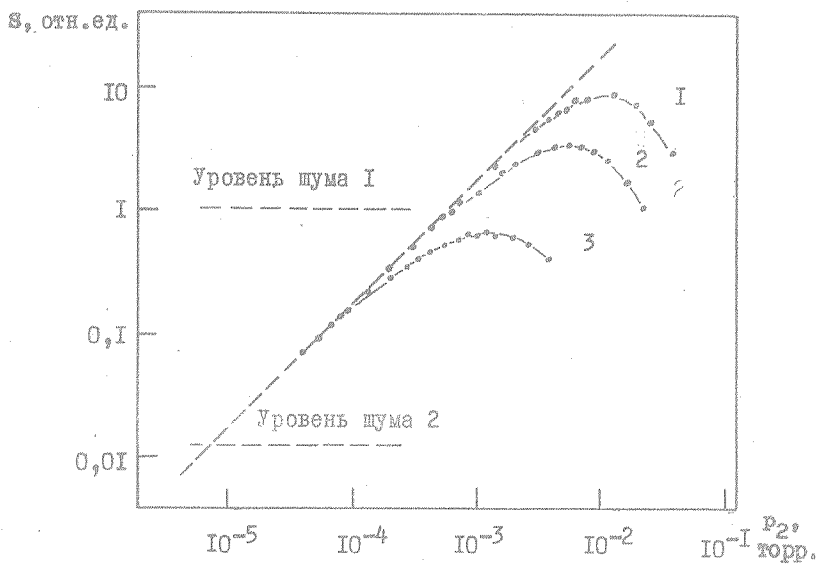
$\Delta t_1$  и  $\Delta t_2$  выбирались из условия максимальности  $S$ , что соответствовало установлению одного из стробирующих импульсов в максимум поглощения, а другого на склон линии. Как следует из (2),  $S$  прямо пропорционально произведению парциального давления газа и длины кюветы. Коэффициент пропорциональности  $A$  может быть определен при измерениях калибровочных смесей.

На рис. 1 представлен результат регистрации содержания  $CF_2Cl_2$  в смеси  $CF_2Cl_2$  и воздуха в отношении 1:1000. Смесь заполнилась кювета  $K_2$  до давления 100 торр. Измерение величины  $S$  производилось при мгновенной откачке кюветы, одновременно фиксировалось суммарное давление в ней. Зависимость  $S$  от парциального давления  $CF_2Cl_2$  для смесей трех составов представлена на рис. 2. При малых суммарных давлениях наблюдается линейная зависимость  $S$  от парциального давления детектируемого газа, как это и следует из (2). При дальнейшем росте давления  $S$  проходит через максимум, а затем начинает падать. Причиной такого поведения является столкновительное уширение линий поглощения, что приводит к сглаживанию регистрируемого в аналитическом плече спектра.

Из рис. 2 видно, что без применения специальных мер в данных экспериментальных условиях может быть зарегистрировано наличие  $CF_2Cl_2$  при его парциальном давлении около  $10^{-3}$  торр. Данная величина определяется уровнем шумов, отмеченных цифрой 1 на рис. 2.



Р и с. 1. Пример регистрации газовой смеси  $SF_2Cl_2$  и воздуха (1 : 1000) при ее медленной откачке. Стрелки указывают суммарное давление смеси в торр.



Р и с. 2. Зависимость S от парциального давления  $SF_2Cl_2$  для смесей  $SF_2Cl_2$  и воздуха трех составов I : 100 (1), I : 1000 (2), I : 7600 (3).

Использование частотных фильтров, запуска СИ по линиям первого газа и усреднение по значительному количеству запусков  $\sim 10^4$  позволило улучшить чувствительность газоанализатора почти на два порядка. Достигнутый при этом уровень шума отнесен цифой 2 на рис. 2. Быстродействие системы находилось на уровне 0,5 с.

Таким образом, предложенный метод позволяет регистрировать содержание малых концентраций примесей в газовых смесях, используя при каждом импульсе тока накачки информацию, содержащуюся в значительном количестве наиболее сильных линий поглощения исследуемого газа. Последнее обстоятельство позволяет добиться примерно стократного увеличения отношения сигнал/шум по сравнению с традиционными методами регистрации по одной линии, сохраняя при этом достаточно высокое быстродействие системы.

Поступила в редакцию  
28 марта 1983 г.

#### Л и т е р а т у р а

1. J. Reid et al., *Appl. Opt.*, **17**, 300 (1978); *Opt. Eng.*, **17**, 56 (1978).
2. D. E. Jennings, *Geophys. Res. Lett.*, **5**, 241 (1978).
3. F. Capellani, G. Restelli, G. Melandrone, *Infrared Phys.*, **19**, 195 (1979).
4. И. И. Засавицкий и др., Тезисы VI Всесоюзного симпозиума по молекулярной спектроскопии высокого и сверхвысокого разрешения, Томск, 1982 г., ч. 2, с. 149.
5. А. Д. Бритов и др., Тезисы XI Всесоюзной конференции по когерентной и нелинейной оптике, Ереван, 1982 г., ч. 2, с. 851.
6. H. Sano et al., *Jap. J. Appl. Phys.*, **20**, 2145 (1981).
7. E. Max, S. T. Eng, *Opt. Quant. Electr.*, **11**, 97 (1979).
8. Ю. В. Косичкин, А. И. Надеждинский, Тезисы XI Всесоюзной конференции по когерентной и нелинейной оптике, Ереван, 1982 г., ч. 2, с. 824.